

Aalto-yliopisto
Perustieteiden korkeakoulu
Teknillisen fysiikan ja matematiikan tutkinto-ohjelma

Kaksintaistelun approksimatiivinen mallintaminen

kandidaatintyö
16.9.2013

Juho Roponen

Työn saa tallentaa ja julkistaa Aalto-yliopiston avoimilla verkkosivuilla.
Muilta osin kaikki oikeudet pidätetään.

AALTO-YLIOPISTO PERUSTIETEIDEN KORKEAKOULU PL 11000, 00076 Aalto http://www.aalto.fi	KANDIDAATINTYÖN TIIVISTELMÄ	
Tekijä: Juho Roponen		
Työn nimi: Kaksintaistelun approksimatiivinen mallintaminen		
Tutkinto-ohjelma: Teknillisen fysiikan ja matematiikan tutkinto-ohjelma		
Pääaine: Systemitieteet	Pääaineen koodi: F3010	
Vastuopettaja(t): Prof. Ahti Salo		
Ohjaaja(t): ST Esa Lappi		
<p>Tiivistelmä:</p> <p>Taistelumallinnus on tutkimusala, jolla tehdään jatkuvasti kehitystyötä. Suurien taisteluiden tarkka mallintaminen on nykyään erittäin työlästä ja aikaavievää puuhaa ja isonkin taistelun kulku voi muuttua merkittävästi kahden pienemmän joukon kohtaamisen tulosten seurauksena. Tästä syystä tarvitaan tehokkaita ja nopeita algoritmeja yksittäisten joukkojen kohtaamisten lopputulosten arviointiin.</p> <p>Tässä työssä tarkastellaan kahta approksimatiivista stokastista mallia, joilla voidaan ratkoa pienten joukkojen välisiä kaksintaisteluja. Menetelmät perustuvat kahteen erilaiseen riippumattomuusolettamaan joukkojen vahvuusjakaumista. Menetelmiä verrataan referenssimalliin, joka ei tee minkäänlaisia riippumattomuusolettamia.</p> <p>Menetelmien nopeuden lisäksi tarkastellaan niiden kykyä ennustaa kaksintaistelun voittava osapuoli sekä joukkojen vahvuudet kaksintaistelun jälkeen. Vertailun tulosten perusteella esitetään arvio mallien soveltuvuudesta erilaisiin käyttötarkoituksiin.</p>		
Päivämäärä: 16.9.2013	Kieli: suomi	Sivumäärä: 17
Avainsanat: stokastinen, mallintaminen, kaksintaistelu		

Sisältö

1	Johdanto	1
2	Teoreettinen tausta	1
2.1	Referenssimenetelmä	2
2.2	Ensimmäinen approksimatiivinen menetelmä	3
2.3	Toinen approksimatiivinen menetelmä	5
3	Tulokset	7
3.1	Laskenta-aikojen vertailu	7
3.2	Voittotodennäköisyyksien virheet	10
3.3	Lopputilan vahvuusjakaumien virheet	10
4	Yhteenveto	15
A	Referenssimenetelmän javatoteutus	18
B	Lapin, Pakkasen ja Åkessonin menetelmän javatoteutus	26
C	Oman menetelmäni javatoteutus	33

1 Johdanto

Tässä työssä tutkitaan kahden hieman toisistaan eroavan laskennallisen menetelmän kykyä ennustaa kahden jalkaväkijoukon välisen taistelun lopputuloksia. Tarkoille ja nopeille menetelmille tällaisten ongelmien ratkaisemiseen on tarvetta, koska esimerkiksi prikaatitason taistelua mallinnettaessa tulee usein vastaan tilanteita, että pienempienkin joukkojen väliset kohtaamiset voivat vaikuttaa siihen, miten koko mallinnettava skenaario jatkuu siitä eteenpäin. ([Lappi and Åkesson, 2011], [Sormunen et al., 2013]) Tällaisissa tilanteissa ollaan ennen kaikkea kiinnostuneita siitä, mitkä ovat joukon mahdollisuudet voittaa taistelu ja missä kunnossa joukko on taistelun jälkeen, jos se kykenee sen voittamaan.

Kahden joukon välisen taistelun lopputuloksen arviointiin on olemassa useita erilaisia työkaluja. Näistä yleisesti ovat käytössä Lanchesterin yhtälöihin perustuvat mallit sekä joukkojen voimasuhteiden arviointiin perustuvat mallit kuten QJM-analyysi. ([Hyytiäinen, 2003]) Näiden lisäksi käytössä on pienempään mittakaavaan soveltuvia niin sanottuja lavettitason malleja, jossa pienin toimija on yksittäinen sotilas tai laite ja itse simulointi tapahtuu Monte Carlo -menetelmällä. Näissä menetelmissä on kuitenkin tiettyjä ongelmia; Lanchesterin yhtälöt tekevät hyvin paljon yksinkertaistavia oletuksia, joista irrottautuminen tekee yhtälöistä vaikeita tai mahdottomia ratkaista. ([Kangas, 2005]) QJM-analyysi soveltuu huonosti käytettäväksi Suomessa, koska se olettaa joukon kooksi vähintään prikaatin. ([Jaakola, 2004]) Vastaavasti myös lavettitason mallit ovat rajoittuneita melko pieniin joukkoihin.

Joukkue- ja prikaatitason välille soveltuvia mallinnustyökaluja ei ole olemassa ainakaan julkisesti saatavilla olevan tiedon mukaan juuri lainkaan ja juuri tämän kokoluokan taistelut ovat kiinnostavia suomalaisten kannalta. ([Lappi et al., 2012b]) Tästä syystä tässä työssä tukeudutaan voimakkaasti operaatioanalyysityökalu Sandista ([Lappi, 2008]) varten kehitettyihin stokastisiin laskentamalleihin, koska niistä on mahdollista löytää tietoa riittävän kattavasti.

2 Teoreettinen tausta

Tutkitaan kahden joukon välistä suoratuliaseilla (esim. kiväärit tai konekiväärit) käytävää taistelua. Merkitään B_t :llä ja R_t :llä joukkojen Sininen ja Punainen vahvuuksia ajanhetkellä $t = 0, 1, \dots, T$, missä $T \in \mathbb{N}$ on simuloinnin aika-askelien kokonaislukumäärä. Joukkojen aloitusvahvuudet ovat ennalta määrättyjä vakioita, kun taas kaikki muut vahvuudet ovat satunnaismuuttu-

jia. Kumpikaan joukko ei saa vahvistuksia taistelun aikana, joten $B_t \leq B_{t-1}$ ja $R_t \leq R_{t-1}$. Molemmilla yksiköillä on minimivahvuus $\underline{b} \in \{1, \dots, B_0\}$ ja $\underline{r} \in \{1, \dots, R_0\}$, jolla se pystyy toimimaan. Jos yksikön vahvuus putoaa tämän minimivahvuuden alle, ei yksikkö pysty enää jatkamaan taistelua ja se lasketaan lyödyksi. Tässä tapauksessa yksiköiden vahvuudet eivät enää muutu, koska taistelu lasketaan päättyneeksi. (Tässä mallinnusongelmassa ei oteta kantaa siihen, mitä yksiköille käy tämän jälkeen.) Formaalisti siis, jos $B_t < \underline{b}$ tai $R_t < \underline{r}$ jollekin t niin $B_s = B_t$ ja $R_s = R_t$ kaikille $s \geq t$. Jokaiselle ajanhetkelle on siis neljä erilaista mahdollisuutta taistelun tilaksi.

- taistelu jatkuu, $C_t = \{B_t \geq \underline{b}, R_t \geq \underline{r}\}$
- Sininen joukko on voittanut, $W_{B,t} = \{B_t \geq \underline{b}, R_t < \underline{r}\}$
- Punainen joukko on voittanut, $W_{R,t} = \{B_t < \underline{b}, R_t \geq \underline{r}\}$
- molemmat joukot on lyöty, $D_t = \{B_t < \underline{b}, R_t < \underline{r}\}$

Koska joukkojen vahvuudet B_t ja R_t laskevat taistelun edetessä, C_t :n todennäköisyys laskee ja lopputilojen, $W_{b,t}$, $W_{r,t}$ ja D_t todennäköisyydet kasvavat.

2.1 Referenssimenetelmä

Kuvailen ensimmäisenä tässä työssä käytössä olevan referenssimenetelmän, johon muiden approksimatiivisten menetelmien tarkkuutta ja nopeutta verrataan. Menetelmä on sama kuin [Lappi et al., 2012a] konferenssipaperissa esitelty. Tämä helpottaa tulosten vertailua kyseiseen paperiin. Referenssimenetelmä itsessään on yleistys Sandiksessä ([Lappi and Pottonen, 2006]) nykyisin käytössä olevasta *pistetuli*-mallista ja se muistuttaa osittain stokastista Lanchester-mallia.

Merkitään tiloihin liittyviä todennäköisyyksiä P :llä. Referenssimenetelmässä simuloinnin t :s aika-askel otetaan seuraavasti.

1. Jokaisen aika-askelen alussa joukkojen vahvuudet ovat B_{t-1} ja R_{t-1} , vastaavasti.
2. Jokainen Sininen (Punainen) sotilas tulittaa riippumattomasti keskimäärin $\lambda_B > 0$ ($\lambda_R > 0$) ammusta tähdättynä sattumanvaraisesti ja tasaisesti R_{t-1} (B_{t-1}) kohteeseen, jotka ovat vihollisen sotilaita.
3. Jokainen Sinisen (Punaisen) sotilaan ampuma ammus tuottaa osuman, joka lamauttaa vastustajan sotilaan, todennäköisyydellä $p_B \in (0, 1)$ ($p_R \in (0, 1)$)

4. Jokaisen aika-askeleen lopussa lamauttavan osuman saaneet sotilaat poistetaan taistelukentältä ja uudet vahvuudet B_t ja R_t lasketaan

Tällä tavalla toimien vahvuudet (B_t, R_t) seuraavata Markovin ketjua binomisiirtymätodennäköisyyksin

$$P[B_t = b, R_t = r | B_{t-1} = b_{-1}, R_{t-1} = r_{-1}] = \binom{b_{-1}}{b_{-1} - b} \pi_R(b_{-1}, r_{-1})^{b_{-1} - b} (1 - \pi_R(b_{-1}, r_{-1}))^b \times \binom{r_{-1}}{r_{-1} - r} \pi_B(b_{-1}, r_{-1})^{r_{-1} - r} (1 - \pi_B(b_{-1}, r_{-1}))^r \quad (1)$$

jos $b_{-1} \geq \underline{b}$, $b_{-1} \geq b$, $r_{-1} \geq \underline{r}$ ja $r_{-1} \geq r$, missä

$$\pi_B(b_{-1}, r_{-1}) = 1 - (1 - p_B)^{\frac{\lambda_B b_{-1}}{r_{-1}}} \text{ ja } \pi_R(b_{-1}, r_{-1}) = 1 - (1 - p_R)^{\frac{\lambda_R r_{-1}}{b_{-1}}}$$

Muutoin asetetaan

$$P[B_t = b, R_t = r | B_{t-1} = b_{-1}, R_{t-1} = r_{-1}] = \begin{cases} 1, & \text{jos } b = b_{-1} \text{ ja } r = r_{-1} \\ 0, & \text{jos } b \neq b_{-1} \text{ tai } r \neq r_{-1} \end{cases} \quad (2)$$

Yhtälöistä (1) ja (2) saadaan alkiot Markovin ketjun (B_t, R_t) tilasiirtomatriisiin. Näin ollen yhteisjakauman (B_t, R_t) arviointi päättyy alkutilavektorin (B_0, R_0) kertomiseen tilasiirtomatriisilla t kertaa. Todennäköisyydet C_t , $W_{b,t}$, $W_{r,t}$ ja D_t saadaan sitten laskettua yhteisjakaumasta. Tilasiirtomatriisin dimensio on $(B_0 + 1)(R_0 + 1) \times (B_0 + 1)(R_0 + 1)$, mutta se on suhteellisen harva, joten pienillä aloitusvahvuuksilla B_0 ja R_0 matriisin muodostaminen ja kertolaskut ovat laskennallisesti vielä hallittavissa. Aloitusvahvuuksien kasvaessa vaatimukset laskentateholle kasvavat nopeasti, mikä kannustaa etsimään vaihtoehtoisia malleja.

2.2 Ensimmäinen approksimatiivinen menetelmä

Esitän tässä ensimmäisen vertailussa olevan approksimatiivisen menetelmän, joka pyrkii olemaan tuloksiltaan lähellä referenssimallia ainakin taistelun lopputilojen todennäköisyyksien osalta. Menetelmä on myös laskennallisesti selkeästi referenssimenetelmää nopeampi ([Lappi et al., 2012a]).

Merkitään approksimatiiviseen menetelmään liittyviä todennäköisyyksiä \bar{P} :llä. Menetelmä perustuu oletukseen, että jokaisella aika-askeleella $t = 1, 2, \dots, T$ vahvuudet B_t ja R_t ovat riippumattomia ehdolla, että *taistelu on jatkunut ajanhetkellä* $t - 1$, siis

$$\bar{P}[B_t = b, R_t = r | C_{t-1}] = \bar{P}[B_t = b | C_{t-1}] \bar{P}[R_t = r | C_{t-1}]. \quad (3)$$

Otetaan t :s aika-askel samalla tavoin kuin referenssimenetelmässä paitsi, että Punaisen ja Sinisen edelliset vahvuudet otetaan toisistaan riippumatta ehdollisista reunajakaumista (marginal conditional distributions) $\bar{P}[B_{t-i} = b_{-1}]$ ja $\bar{P}[R_{t-i} = r_{-1}]$ vastaavasti. Asetetaan siis

$$\begin{aligned} \bar{P}[B_t = b | C_{t-i}] &= \sum_{b_{-1}=\underline{b}}^{B_0} \sum_{r_{-1}=\underline{r}}^{R_0} \bar{P}[B_{t-1} = b_{-1} | C_{t-1}] \bar{P}[R_{t-1} = r_{-1} | C_{t-1}] \\ &\quad \times \binom{b_{-1}}{b_{-1} - b} \pi_R(b_{-1}, r_{-1})^{b_{-1}-b} (1 - \pi_R(b_{-1}, r_{-1}))^b, \end{aligned} \quad (4)$$

missä $\pi_R(b_{-1}, r_{-1})$ ja siihen liittyvät parametrit ovat samoja kuin referenssimenetelmässäkin. Todennäköisyydelle $\bar{P} = [R_t = r | C_{t-i}]$ muotoillaan myös täysin analoginen kaava. Koska taistelu jatkuu ainoastaan, jos Sinisen vahvuus on vähintään \underline{b} , saadaan

$$\bar{P}[B_t = b | C_t] = \begin{cases} \frac{\bar{P}[B_t=b | C_{t-i}]}{\bar{P}[B_t \geq \underline{b} | C_{t-i}]}, & \text{jos } b \geq \underline{b} \\ 0, & \text{jos } b < \underline{b} \end{cases} \quad (5)$$

ja Punaisen vahvuudelle $\bar{P} = [R_t = r | C_{t-i}]$ saadaan vastaava kaava.

Tarkastellaan sitten approksimatiivisen menetelmän tärkeimpiä ominaisuuksia. Koska $C_t \subset C_{t-1}$, ehdollisen riippumattomuuden nojalla (3), saadaan taistelun jatkumiselle laskettua todennäköisyys

$$\bar{P}[C_t] = \bar{P}[C_t \cap C_{t-1}] = \bar{P}[B_t \geq \underline{b} | C_{t-1}] \bar{P}[R_t \geq \underline{r} | C_{t-1}] \bar{P}[C_{t-1}]. \quad (6)$$

Lisäksi saadaan

$$\bar{P}[B_t = b, R_t = r] = \bar{P}[B_t = b | C_{t-1}] \bar{P}[R_t = r | C_{t-1}] \bar{P}[C_{t-1}] + \bar{P}[B_{t-1} = b, R_{t-1} = r] \quad (7)$$

ehdolla että $b < \underline{b}$ tai $r < \underline{r}$. Tämä identiteetti mahdollistaa ratkaisevien todennäköisyyksien $\bar{P}[B_t = b, R_t = r]$, missä $b < \underline{b}$ tai $r < \underline{r}$, arvioimisen rekursiivisesti ilman, että pidetään kirjaa koko yhteisjakaumasta (B_t, R_t) . Tällainen menettely vaatii ainoastaan, että pidetään kirjaa ehdollisista reunajakaumista $\bar{P}[B_t = b | C_{t-1}]$ ja $\bar{P}[R_t = r | C_{t-1}]$ aika-askeleeseen t asti. Yhtälöstä (7) saadaan suoraan myös rekursiiviset kaavat taistelun lopputilojen

laskentaan:

$$\bar{P}[W_{B,t}] = \bar{P}[B_t \geq \underline{b}|C_{t-1}]\bar{P}[R_t < \underline{r}|C_{t-1}]\bar{P}[C_{t-1}] + \bar{P}[W_{B,t-1}], \quad (8)$$

$$\bar{P}[W_{R,t}] = \bar{P}[B_t < \underline{b}|C_{t-1}]\bar{P}[R_t \geq \underline{r}|C_{t-1}]\bar{P}[C_{t-1}] + \bar{P}[W_{R,t-1}], \quad (9)$$

ja

$$\bar{P}[D_t] = \bar{P}[B_t < \underline{b}|C_{t-1}]\bar{P}[R_t < \underline{r}|C_{t-1}]\bar{P}[C_{t-1}] + \bar{P}[D_{t-1}]. \quad (10)$$

Muistetaan, että aluksi $\bar{P}[W_{B,t}] = \bar{P}[W_{R,t}] = \bar{P}[D_t] = 0$

On myös muistettava, että lopputilojen todennäköisyyksien lisäksi ollaan myös kiinnostuneita yksiköiden vahvuuksien ehdollisista jakaumista tilanteessa, jossa yksikkö on joko voittanut tai lyöty. Referenssimenetelmässä nämä lasketaan suoraan yhteisjakaumasta (B_t, R_t) , mutta tämän approksimatiivisen menetelmän kanssa täytyy menetellä hieman eri tavoin. Ehdollisille jakaumille saadaankin johdettua rekursiiviset kaavat yhtälöiden (8), (9) ja (10) tapaan. Sinisen joukon vahvuusjakaumalle pätee ehdolla, että se on voittanut

$$\begin{aligned} \bar{P}[B_t = b|W_{B,t}] = \\ \frac{\bar{P}[B_t = b|C_{t-1}]\bar{P}[R_t < \underline{r}|C_{t-1}]\bar{P}[C_{t-1}] + \bar{P}[B_{t-1} = b|W_{B,t-1}]\bar{P}[W_{B,t-1}]}{\bar{P}[W_{B,t}]} \end{aligned} \quad (11)$$

kaikilla $b \geq \underline{b}$, kun taas jakaumalle ehdolla, että se on lyöty, pätee

$$\begin{aligned} \bar{P}[B_t = b|D_t \cup W_{R,t}] = \\ \frac{\bar{P}[B_t = b|C_{t-1}]\bar{P}[C_{t-1}] + \bar{P}[B_{t-1} = b|D_{t-1} \cup W_{R,t-1}](\bar{P}[D_{t-1}] + \bar{P}[W_{R,t-1}])}{\bar{P}[D_t]\bar{P}[W_{R,t}]} \end{aligned} \quad (12)$$

kaikilla $b < \underline{b}$. Aloituspjakaumia $\bar{P}[B_0, = b|W_{B,0}]$ ja $\bar{P}[R_0, = r|W_{R,0}]$ ei voida määrittää, koska $\bar{P}[W_{B,0}] = \bar{P}[W_{D,0}] = \bar{P}[D_0] = 0$, mutta se ei ole ongelma, koska niiden vaikutus yhtälöissä (11) ja (12) kerrotaan joka tapauksessa nolllalla. Jälleen Punaisen vahvuusjakaumille saadaan kirjoitettua aivan analogiset yhtälöt.

2.3 Toinen approksimatiivinen menetelmä

Toinen esittämäni menetelmä on itse ensimmäisestä menetelmästä muokkamani. Se pyrkii olemaan laskennallisesti ensimmäistä nopeampi häviämättä

merkittävästi laskennan tarkkuudessa. Toinen menetelmä tekee voimakkaamman riippumattomuusolettaman kuin ensimmäinen. Sen sijaan, että oletetaan, että vahvuudet B_t ja R_t ovat riippumattomia ehdolla, että taistelu jatkuu, oletetaan, että ne ovat riippumattomia aina, eli

$$\bar{P}[B_t = b, R_t = r] = \bar{P}[B_t = b]\bar{P}[R_t = r]. \quad (13)$$

Myös laskenta hoidetaan kuitenkin hiukan eri tavoin. Sen sijaan, että laskennassa käytettäisiin ehdollisia reunajakaumia, käytetään koko reunajakaumaa. Reunajakaumille saadaan siis kirjoitettua yhtälöä (4) vastaavasti

$$\begin{aligned} \bar{P}[B_t = b] &= \sum_{b_{-1}=\underline{b}}^{B_0} \sum_{r_{-1}=r}^{R_0} \bar{P}[B_{t-1} = b_{-1}]\bar{P}[R_{t-1} = r_{-1}] \\ &\quad \times \binom{b_{-1}}{b_{-1}-b} \pi_R(b_{-1}, r_{-1})^{b_{-1}-b} (1 - \pi_R(b_{-1}, r_{-1}))^b \\ &\quad + \sum_{b_{-1}=0}^{b-1} \sum_{r_{-1}=0}^{R_0} \bar{P}[B_{t-1} = b_{-1}]\bar{P}[R_{t-1} = r_{-1}] \times I_b(b, b_{-1}) \\ &\quad + \sum_{b_{-1}=\underline{b}}^{B_0} \sum_{r_{-1}=0}^{r-1} \bar{P}[B_{t-1} = b_{-1}]\bar{P}[R_{t-1} = r_{-1}] \times I_b(b, b_{-1}), \end{aligned} \quad (14)$$

missä

$$I_b(b, b_{-1}) = \begin{cases} 1, & \text{jos } b = b_{-1} \\ 0, & \text{muutoin.} \end{cases}$$

Punaisen vahvuudet päivitetään aivan vastaavalla tavalla.

Taistelun jatkumisesta täytyy pitää kirjaa aivan yhtäläillä kuin ensimmäisessäkin approksimatiivisessa menetelmässä, jotta saadaan selvitettyä kummankin joukon voittotodennäköisyydet ja vahvuusjakaumat siinä tapauksessa, että kyseinen joukko on voittanut. Yhtälöä (6) vastaavasti saadaan

$$\bar{P}[C_t] = \bar{P}[C_t \cap C_{t-1}] = \frac{\bar{P}[B_t \geq \underline{b}]\bar{P}[R_t \geq \underline{r}]\bar{P}[C_{t-1}]}{\bar{P}[B_{t-1} \geq \underline{b}]\bar{P}[R_{t-1} \geq \underline{r}]}. \quad (15)$$

Myös taistelun lopputiloista on pidettävä kirjaa samankaltaisesti kuin ensimmäisessä approksimatiivisessa menetelmässä. Yhtälöiden (8), (9) ja (10) tapaan voidaan kirjoittaa

$$\bar{P}[W_{B,t}] = \bar{P}[B_t \geq \underline{b}|B_{t-1} \geq \underline{b}]\bar{P}[R_t < \underline{r}|R_{t-1} \geq \underline{r}]\bar{P}[C_{t-1}] + \bar{P}[W_{B,t-1}], \quad (16)$$

$$\bar{P}[W_{R,t}] = \bar{P}[B_t < \underline{b}|B_{t-1} \geq \underline{b}]\bar{P}[R_t \geq \underline{r}|R_{t-1} \geq \underline{r}]\bar{P}[C_{t-1}] + \bar{P}[W_{R,t-1}], \quad (17)$$

ja

$$\bar{P}[D_t] = \bar{P}[B_t < \underline{b}|B_{t-1} \geq \underline{b}]\bar{P}[R_t < \underline{r}|R_{t-1} \geq \underline{r}]\bar{P}[C_{t-1}] + \bar{P}[D_{t-1}]. \quad (18)$$

Myös yksiköiden vahvuusjakaumat siinä tapauksessa, että ne ovat voittaneet täytyy laskea rekursiivisella kaavalla yhtälön (11) tapaan. Sinisen joukon vahvuusjakaumalle pätee ehdolla, että se on voittanut

$$\bar{P}[B_t = b|W_{B,t}] = \frac{\bar{P}[B_t = b|B_{t-1} \geq \underline{b}]\bar{P}[R_t < \underline{r}|R_{t-1} \geq \underline{r}]\bar{P}[C_{t-1}] + \bar{P}[B_{t-1} = b|W_{B,t-1}]\bar{P}[W_{B,t-1}]}{\bar{P}[W_{B,t}]} \quad (19)$$

kaikilla $b \geq \underline{b}$. Jakauma ehdolla, että yksikkö on lyöty on myös laskettava samankaltaisella rekursiivisella kaavalla yhtälön (12) tapaan

$$\bar{P}[B_t = b|D_t \cup W_{R,t}] = \frac{\bar{P}[B_t = b|B_{t-1} \geq \underline{b}]\bar{P}[C_{t-1}] + \bar{P}[B_{t-1} = b|D_{t-1} \cup W_{R,t-1}](\bar{P}[D_{t-1}] + \bar{P}[W_{R,t-1}])}{\bar{P}[D_t]\bar{P}[W_{R,t}]} \quad (20)$$

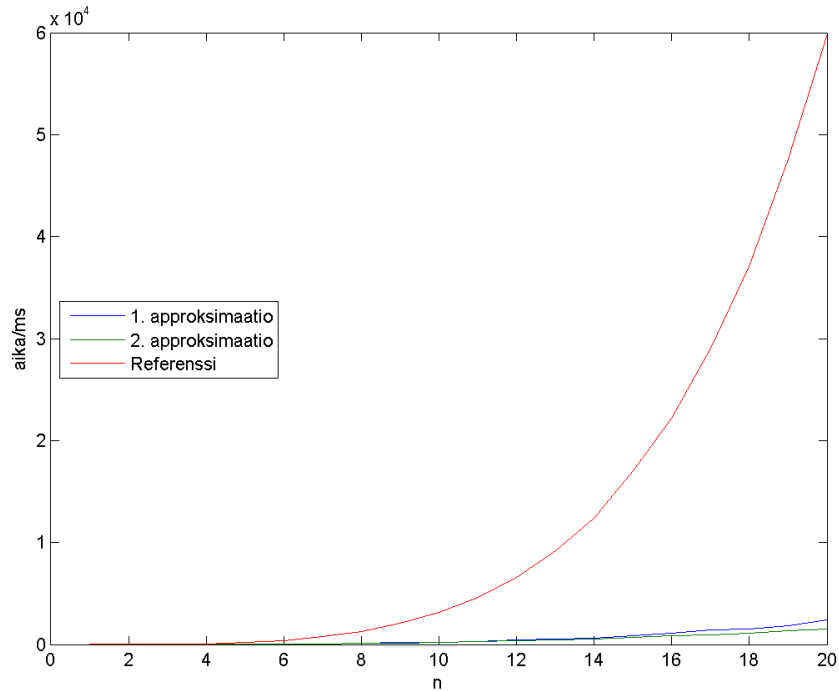
kaikilla $b < \underline{b}$. Punaisen vahvuusjakaumalle saadaan jälleen kirjoitettua täysin analoginen kaava.

3 Tulokset

Arvioin eri menetelmien tehokkuutta toteuttamalla ne Javalla ([Lindholm and Yellin, 1999]) ja tarkastelemalla sitten, miten eri menetelmät selviytyivät erilaisista testiskenaarioista. Tarkkailin, kuinka eri menetelmät suoriutuvat laskenta-aikansa ja tarkkuutensa osalta. Tarkkuutta vertailin tutkimalla kuinka hyvin approksimatiivisten menetelmien tulokset vastasivat referenssimenetelmän tuloksia taistelun lopputilatodennäköisyyksien ja lopputiloja vastaavien vahvuusjakaumien osalta.

3.1 Laskenta-aikojen vertailu

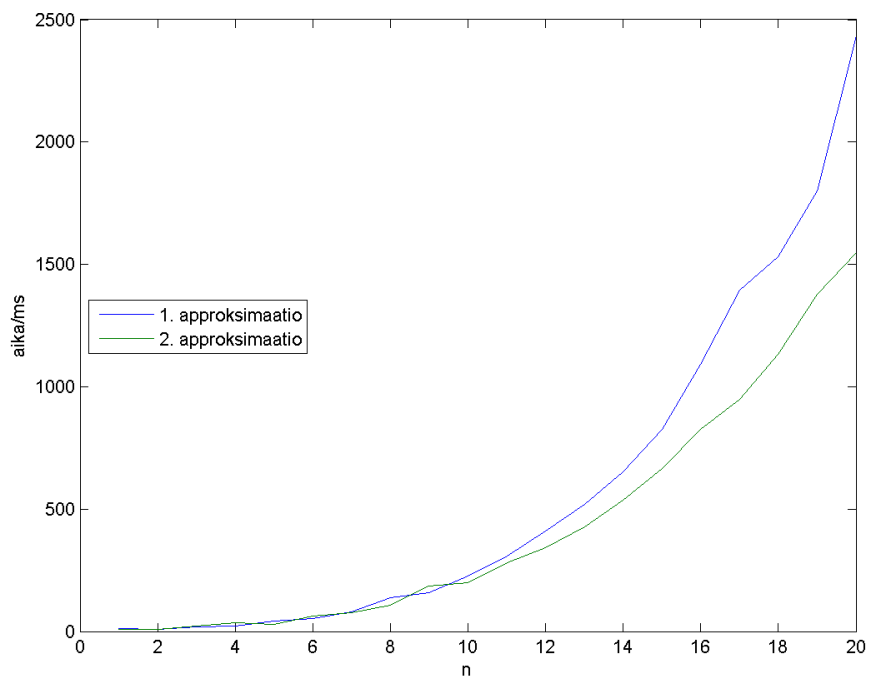
Vertailin eri menetelmiin kuluva laskenta-aikaa laskemalla kaikilla niistä joukon testiskenaarioita, joissa $p_B = p_r = 0.02$ ja $\lambda_B = \lambda_R = 2$, mikä vastaa kenttäkokeissa saavutettuja parametrejä jalkaväen sotilaille [Lappi and Pottonen, 2006] ja [Keinonen, 1954]. Joukkojen aloitusvahvuudet muuttivat ajokertojen välillä siten, että $B_0 = n * 5$ ja $R_0 = n * 4$, kun $n = 1, 2, \dots, 20$, eli B_0 vaihteli viidestä sataan ja R_0 neljästä kahdeksaankymmeneen. Joukkojen taistelua ei ole järkevää mallintaa kaksintaisteluna, jossa jokainen sotilas



Kuva 1: Eri menetelmien laskenta-ajat

voi ampua jokaista vastapuolen sotilasta merkittävästi tätä isommilla joukoilla. Joukkojen pienimmät toimintavahvuudet olivat kaikissa skenaarioissa puolet aloitusvahvuudesta. Kaikilla menetelmillä käytettiin laskennassa 200 aika-askelta.

Kuvassa 1 on näkyvissä kaikkien eri menetelmien käyttämät laskenta-ajat. Kumpikin approksimatiivinen malli on referenssimenetelmää merkittävästi nopeampi. Kaikkien ajankäyttö kasvaa huomattavasti, kun joukkojen koko kasvaa, ja toisella approksimatiivisella menetelmällä aletaan saavuttaa hyötyjä suhteessa ensimmäiseen, kun joukkojen koko kasvaa yli 50:n, kuten kuvasta 2 voidaan helpommin nähdä.



Kuva 2: Approksimatiivisten menetelmien laskenta-ajat

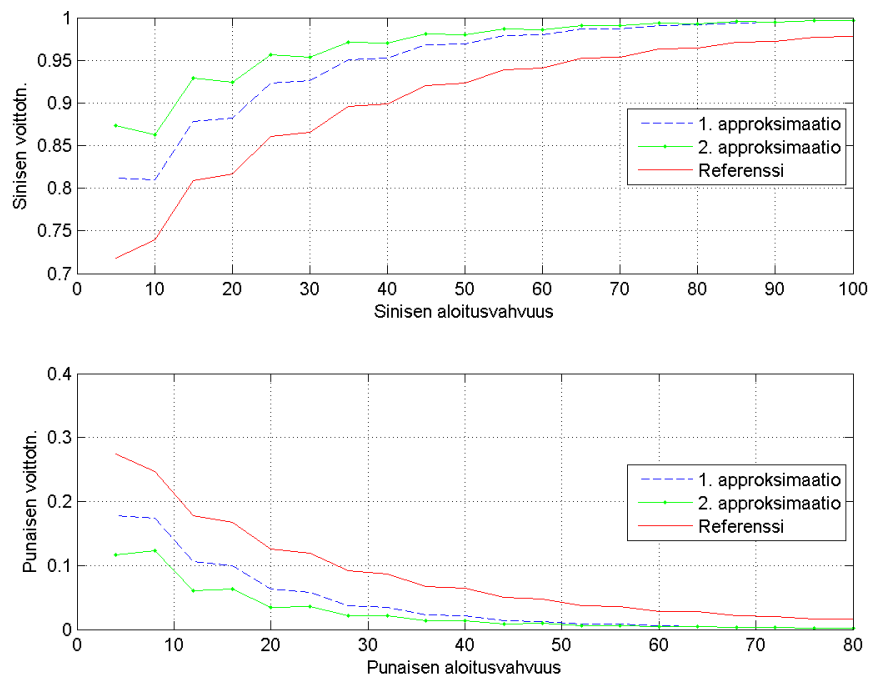
3.2 Voittotodennäköisyyksien virheet

Vertailin approksimatiivisten menetelmien virheitä lopputilatodennäköisyyksissä vertaamalla niiden antamia voittotodennäköisyyksiä referenssimenetelmän antamiin todennäköisyyksiin. Toteutin tämän kahdella testiskenaariosarjalla, joista toinen oli sama kuin laskenta-aikavertailussa, ja toisessa varioin ainoastaan Punaisen aloitusvahvuutta saadakseni paremmin esiin voittotodennäköisyyden muutoksen virheeseen. Käytin samoja parametreja ampumiseen kuin laskenta-aikojen vertailussakin, eli $p_B = p_r = 0.02$ ja $\lambda_B = \lambda_R = 2$. Joukkojen aloitusvahvuudet muuttivat ajokertojen välillä ensimmäisessä testisarjassa siten, että $B_0 = n * 5$ ja $R_0 = n * 4$, kun $n = 1, 2, \dots, 20$, eli B_0 vaihteli viidestä sataan ja R_0 neljästä kahdeksaankymmeneen. Joukkojen pienimmät toimintavahvuudet olivat taas puolet aloitusvahvuudesta. Toisessa sarjassa ainoastaan Punaisen aloitusvahvuus vaihtui ajokertojen välillä siten, että $R_0 = n * 2$, kun $n = 1, 2, \dots, 20$ eli aloitusvahvuus vaihteli kahden ja neljäkymmenen välillä. Pienimmät toimintavahvuudet olivat jälleen puolet aloitusvahvuudesta. Kaikilla menetelmillä käytettiin kaikissa laskennoissa 200 aika-askelta.

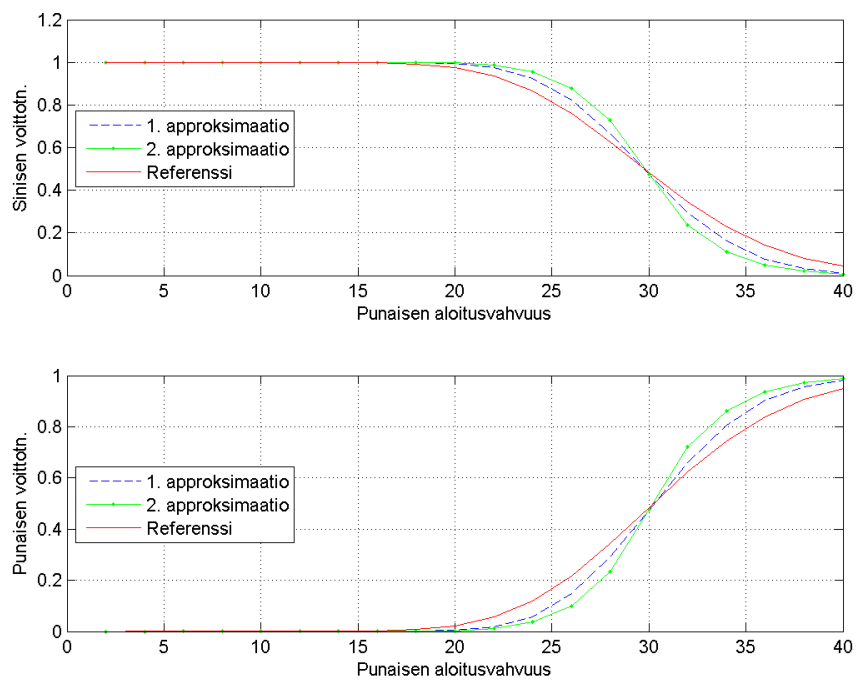
Kuvassa 3 näkyy ensimmäisen testisarjan tulokset. Molemmat approksimatiiviset menetelmät suosivat todennäköisempää voittajaa, mutta ensimmäisen menetelmän virhe on pienillä joukoilla vain noin kaksi kolmasosaa toisen menetelmän virheestä. Isoilla aloitusvahvuuksilla erot tasoittuvat huomattavasti ja molemmat menetelmät tuottavat käytännössä saman ennusteen. Kuvasta 4 nähdään paremmin, kuinka virheiden suuruudet kehittyvät voittotodennäköisyyden mukana. Virheet ovat pienimmillään, kun referenssimenetelmän mukainen voittotodennäköisyys kertoo, että toinen joukko voittaa käytännössä varmasti, tai molempien joukkojen ollessa hyvin tasaväkisiä. Kummankin approksimatiivisen menetelmän virheet ovat aina samaan suuntaan eli voittajasuosikin hyväksi, mutta ensimmäisen menetelmän virhe on käytännössä aina pienempi.

3.3 Lopputilan vahvuusjakaumien virheet

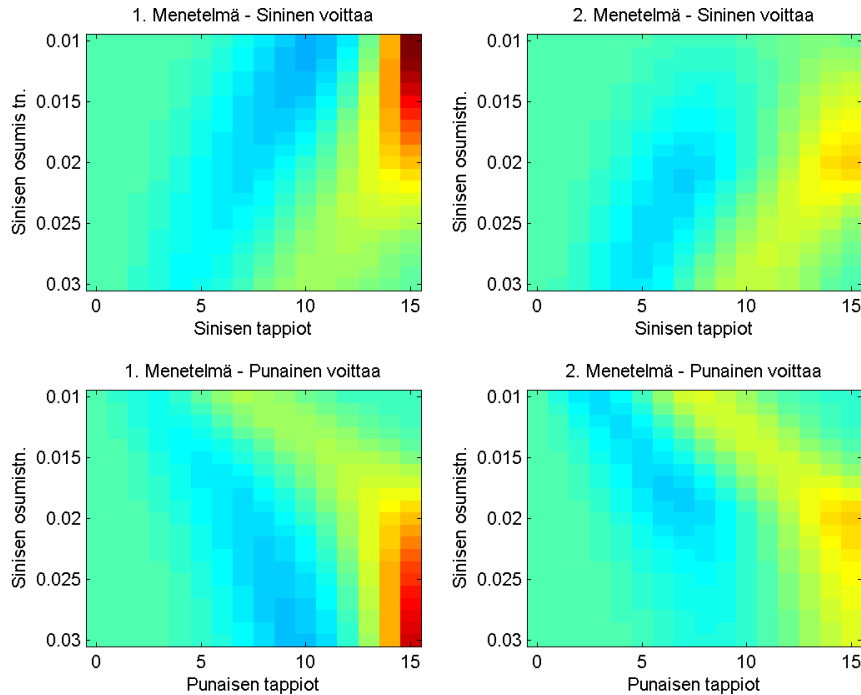
Vahvuusjakaumien virheen vertailun tein hieman eri tavoin kuin aiemmat vertailut tulosten visualisoinnin helpottamiseksi. Toteutin taas kaksikymmentä eri testiskenaariota, joissa tällä kertaa muuttui aloitusvahvuuksien sijaan Sinisen osumatodennäköisyys p_B 0.01:stä 0.03:een. Punaisen osuma-



Kuva 3: Erot voittotodennäköisyyksissä, kun molempien yksiköiden aloitusvahvuudet muuttuvat samassa suhteessa



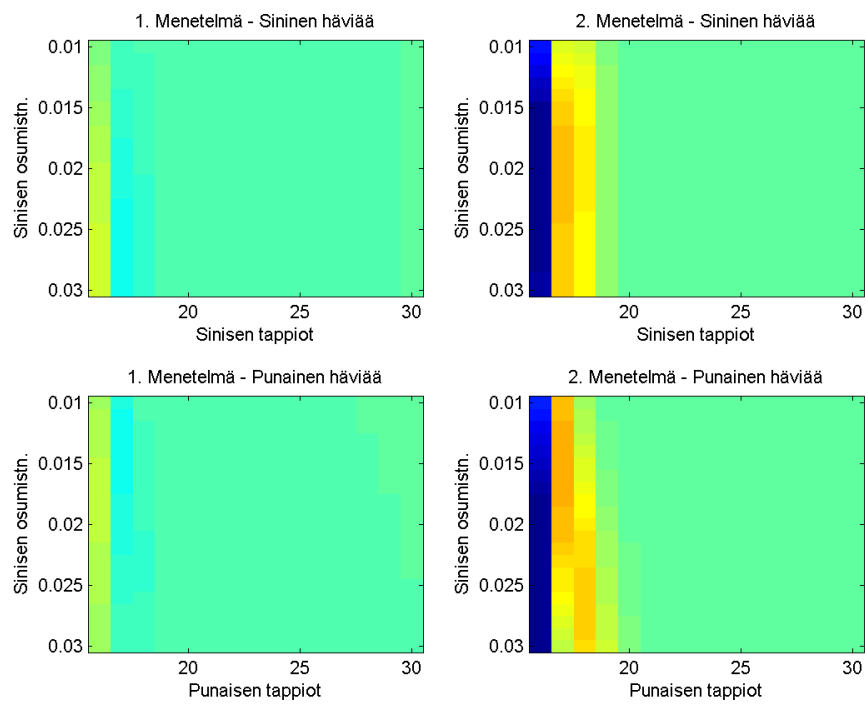
Kuva 4: Erot voittotodennäköisyyksissä, kun vain punaisen joukon aloitusvahvuus muuttuu



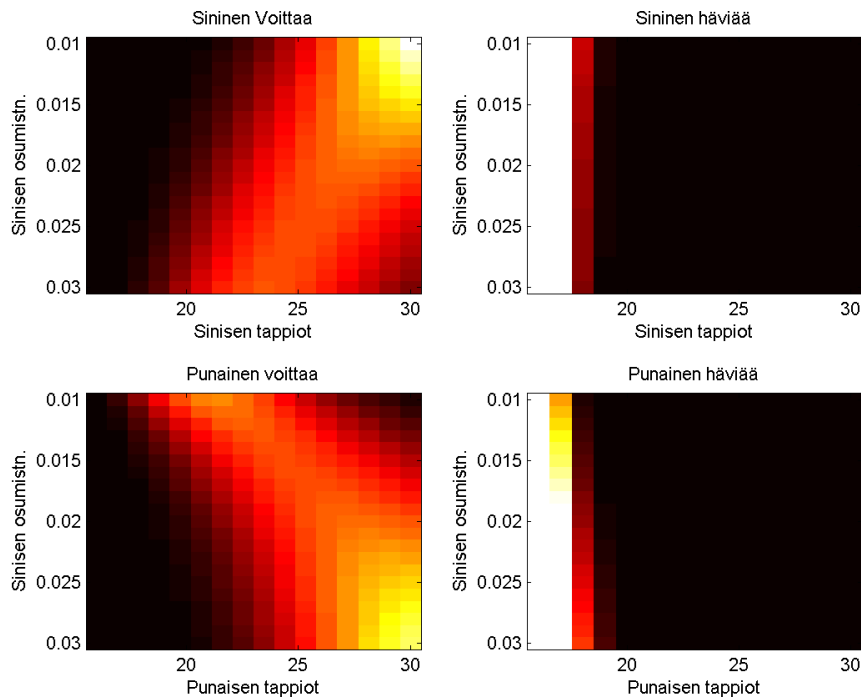
Kuva 5: Vahvuusjakaumien absoluuttiset virheet prosenttiyksiköittäin - Tummin väri vastaa 10 prosenttiyksikköä, siniset sävyt ovat negatiivisia arvoja ja punaiset positiivisia

todennäköisyys oli vakio $p_R = 0.2$. Molempien joukkojen aloitusvahvuudet pysyivät vakioina $B_0 = R_0 = 30$ ja molempien pienimmät toimintavahvuudet olivat edelleen puolet vahvuudesta. Tämä mahdollisti sen, että molempien yksiköiden kaikissa lopputilajakaumissa oli yhtä monta alkiota, mutta voittotodennäköisyyttä saatiin silti varioitua.

Kuvassa 5 on esitetty yksiköiden tappiojakaumien virheet tilanteessa, jossa ne ovat voittaneet taistelun. Ylhäällä on esitetty Sinisen joukon tappioiden virheet ja alhaalla Punaisen. Vasemmalla olevat jakaumat on saatu laskettu ensimmäisellä menetelmällä ja oikealla olevat toisella menetelmällä. Tulosten perusteella toinen menetelmä selviytyy voittavan yksikön jakauman ennustamisessa paremmin kuin ensimmäinen, eli tilanne on päinvastainen, kuin kaksintaistelun voittajaa ennustettaessa. Häviötilanteessa ensimmäisen jakauman virheet ovat kuitenkin pienempiä kuten voidaan nähdä kuvasta 6. Vertailun vuoksi referenssimenetelmän tuottamat jakaumat on esitetty kuvassa



Kuva 6: Vahvuusjakaumien absoluuttiset virheet prosenttiyksiköittäin - Tummin väri vastaa 10 prosenttiyksikköä, siniset sävyt ovat negatiivisia arvoja ja punaiset positiivisia



Kuva 7: Joukkojen tappiojakaumat eri tilanteissa - Valkea väri tarkoittaa yli 20 prosenttiyksikköä ja musta nollaa

7. Kuva auttaa ymmärtämään paremmin virhejakaumien muotoja. Tappiojakaumat häviötilanteessa eivät ole erityisen mielenkiintoisia, koska harvoin yksikkö kuitenkaan menettää näillä aloitusvahvuuksilla paljota yli yhtä miestä laskentakierroksessa. Seurauksena on häviötilanteen vahvuusjakauma on keskittynyt erittäin voimakkaasti juuri pienimmän toimintavahvuuden alpuolelle.

4 Yhteenveto

Kumpikaan tutkituista approksimatiivivisistä menetelmistä ei osoittautunut yksiselitteisesti toista paremmaksi. Ensimmäinen menetelmä oli selkeästi tarkempi ennustamaan kaksintaistelun voittajan, mutta toinen menetelmä osoittautui hieman nopeammaksi ja onnistui laskemaan voittavan joukon vahvuusjakauman tarkemmin. Kummankaan menetelmän virheet eivät kuitenkaan olleet valtaosassa tapauksista niin suuria, etteikö tuloksia voisi käyttää

hyväkseen joukkojen välisten vahvuuksien vertailuissa.

Jos mietitään menetelmien sovellettavuutta osana laajempaa kokonaisuutta kuin ainoastaan kahden jalkaväkijoukon välisen taistelun tulosten ennustamisessa, niin toiselle menetelmälle on selkeästi eduksi, että se käyttää laskennassa joukon koko reunajakaumaa pelkän ehdollisen jakauman sijaan. Tämä on edullista siitä syystä, että todellisella taistelukentällä yksikköön voisi tulla asevaikutusta myös muualta kuin sitä vastustavasta yksiköstä. Toinen syy, miksi koko reunajakauman käyttäminen voi olla edullista menetelmää sovellettaessa muualla, on se, että esimerkiksi Sandis operaatioanalyysityökalu ([Lappi, 2008]) käyttää vastaavanlaisia jakaumia joukkojen vahvuuksien tarkasteluun.

Vaikka tässä työssä käytettiin menetelmien vertailuun kahta jalkaväkijoukkoa, joilla oli käytössään ainoastaan kiväärin kaltaisia aseita, eivät menetelmien oletukset varsinaisesti vaadi, että joukkojen aseistukset eivät voisi olla monimutkaisempiakin. Andreas Åkesson onkin diplomityönsään ([Åkesson, 2012]) toteuttanut tällaisen laajennuksen Lapin, Pakkasen ja Åkessonin menetelmään ([Lappi et al., 2012a]), joka siis on tämän työn vertailtavista approksimatiivisista menetelmistä ensimmäinen. Vastaavan laajennuksen tekeminen toiselle vertailussa olleelle menetelmälle ei ole yhtään sen vaikeampaa. Ei myöskään olemassa mitään syytä, miksi kumpi vain tarkasteltu menetelmä ei voisi saada joukoille koituvia tappioita jostain ulkopuolelta, joten menetelmiä voisi käyttää vain kaksintaistelun voittajan ja vahvuuksien laskentaan ja antaa esimerkiksi Sandiksen laskea joukoille koituvat tappiot.

Viitteet

- Mika Hyytiäinen. *Paikkatietoylivoima digitaalisella taistelukentällä - Sotilaallisten maastoanalyysien metamalli*. PhD thesis, Maanpuolustuskorkeakoulu, 2003.
- Keijo Jaakola. Asevaikutus ja suomalainen maasto komppanian taistelun mallintamisessa. Master's thesis, Teknillinen korkeakoulu, 2004.
- Lauri Kangas. Taistelun stokastinen mallinnus. Master's thesis, Teknillinen korkeakoulu, 2005.
- Yrjö Keinonen. *Jalkaväen tulen vaikutuksesta*. Puolustusvoimat, 1954.
- Andreas Åkesson. Automatic calculation of win probabilities and conditional strength distribution of units in stochastic simulation model. Master's thesis, Åbo Akademi University, 2012.
- Esa Lappi. Sandis military operation analysis tool. In *2nd Nordic Military Analysis Symposium*, pages 17–18, 2008.
- Esa Lappi and Bernt Åkesson. Combat simulation as tool for evaluation of future weapon systems and some risks in sce. *SECURITY IN FUTURES—SECURITY IN CHANGE*, pages 217–224, 2011.
- Esa Lappi and Olli Puttonen. Combat parameter estimation in sandis OA software. In *Lanchester and Beyond—A Workshop on Operational Analysis Methodology*, edited by JS Hämäläinen, volume 11, pages 31–38, 2006.
- Esa Lappi, Mikko Pakkanen, and Bernt Åkesson. An approximative method of simulating a duel. In *Proceedings of the Winter Simulation Conference, WSC '12*, pages 208:1–208:10, Berlin, Germany, 2012a. Winter Simulation Conference. URL <http://dl.acm.org/citation.cfm?id=2429759.2430038>.
- Esa Lappi et al. *Computational methods for tactical simulations*. PhD thesis, Maanpuolustuskorkeakoulu, 2012b.
- Tim Lindholm and Frank Yellin. *Java virtual machine specification*. Addison-Wesley Longman Publishing Co., Inc., 1999.
- Jari Sormunen, Lt Col, and Harri Eskelinen. Utilizing sensitivity analysis and data filtering processes to support overall optimizing and decision making models in military tactics. In *Society 40 th Anniversary Workshop—FORS40*, pages 86–93, 2013.

A Referenssimenetelmän javatoteutus

```

1 import java.io.PrintWriter;
2
3
4 public class ExactCalculator {
5     double tulinopeusB=1, tulinopeusR=1;
6     double phB=0.02, phR=0.02;
7     int nB=50, nR=40;
8     int steps = 60;
9     int lB=25, lR=20;
10    int step = 0;
11
12    //public double[][] R, B, IB, IR;
13    public double[] Pr;
14    public double[][] Prm;
15
16    public double [] jatkuu, voittoR, voittoB, moltuhottu;
17    public double [] stR, stRl, stB, stBl;
18
19    double [][] siirto;
20    double eapu1=1, eapu2=1;
21
22    public ExactCalculator () {
23        Pr=VNull((nB+1)*(nR+1));
24        Pr[0]=1;
25
26        jatkuu= VNull(steps+1);
27        voittoR= VNull(steps+1);
28        voittoB= VNull(steps+1);
29        moltuhottu= VNull(steps+1);
30        jatkuu [0]=1;
31
32        //luodaan ammunnan tilasiirtotensori
33        double [] [] [] [] siirto=MNull(nB+1,nR+1,nB+1,nR+1);
34        for (int iB=0;iB<=nB;iB++)
35            for (int iR=0;iR<=nR;iR++)
36                for (int iBo=0;iBo<=nB;iBo++)
37                    for (int iRo=0;iRo<=nR;iRo++)
38                        if (iRo>lR && iBo>lB) siirto [nB-iB] [nR-iR] [nB-iBo] [nR
-iRo]=DBinom(iB-iBo, iBo, 1-Math.pow(1-phR,
tulinopeusR*iRo/iBo))*DBinom(iR-iRo, iRo, 1-Math.
pow(1-phB, tulinopeusB*iBo/iRo));
39        else
40            if (iBo==iB&&iRo==iR) siirto [nB-iB] [nR-iR] [nB-iBo] [
nR-iRo]=1;
41            else siirto [nB-iB] [nR-iR] [nB-iBo] [nR-iRo]=0;

```

```

42
43 //muunnetaan tilasiirtotensori matriisiksi
44 this.siiрто=new double[(nB+1)*(nR+1)][(nB+1)*(nR+1)];
45 for(int iB=0;iB<=nB;iB++)
46     for(int iR=0;iR<=nR;iR++)
47         for(int iBo=0;iBo<=nB;iBo++)
48             for(int iRo=0;iRo<=nR;iRo++)
49                 this.siiрто[iB+(nB+1)*iR][iBo+(nB+1)*iRo]=siiрто[iB][
                    iR][iBo][iRo];
50
51
52 //vektorit ehdollisia jakaumia varten
53 stR=VNull(nR-1R+1);
54 stB=VNull(nB-1B+1);
55 stRl=VNull(1R);
56 stBl=VNull(1B);
57 }
58
59 public ExactCalculator(int s, int nB, int nR, int lB, int lR,
        double phB, double phR, double tulinopeusB, double
        tulinopeusR){
60     this.phB=phB;
61     this.phR=phR;
62     this.tulinopeusB=tulinopeusB;
63     this.tulinopeusR=tulinopeusR;
64     steps=s;
65     this.nB=nB;
66     this.nR=nR;
67     this.lB=lB;
68     this.lR=lR;
69     Pr=VNull((nB+1)*(nR+1));
70     Pr[0]=1;
71
72     jatkuu=VNull(steps+1);
73     voittoR=VNull(steps+1);
74     voittoB=VNull(steps+1);
75     moltuhottu=VNull(steps+1);
76     jatkuu[0]=1;
77
78 //luodaan ammunnan tilasiirtotensori
79 double[][][] siiрто=MNull(nB+1,nR+1,nB+1,nR+1);
80 for(int iB=0;iB<=nB;iB++)
81     for(int iR=0;iR<=nR;iR++)
82         for(int iBo=0;iBo<=nB;iBo++)
83             for(int iRo=0;iRo<=nR;iRo++)
84                 if(iRo>=lR && iBo>=lB) siiрто[nB-iB][nR-iR][nB-iBo][
                    nR-iRo]=DBinom(iBo, iBo-iB, 1-Math.pow(1-phR,
                    tulinopeusR*iRo/iBo))*DBinom(iRo, iRo-iR, 1-Math.

```

```

85         pow(1-phB, tulinopeusB*iBo/iRo));
86     else
87         if ((iBo==iB) && (iRo==iR)) siirto[nB-iB][nR-iR][nB-
88             iBo][nR-iRo]=1;
89         else siirto[nB-iB][nR-iR][nB-iBo][nR-iRo]=0;
90 //System.out.println(siirto[nB][nR][nB][nR]);
91 //muunnetaan tilasiirtotensori matriisiksi
92 this.siirto=new double[(nB+1)*(nR+1)][(nB+1)*(nR+1)];
93 for (int iB=0;iB<=nB;iB++)
94     for (int iR=0;iR<=nR;iR++)
95         for (int iBo=0;iBo<=nB;iBo++)
96             for (int iRo=0;iRo<=nR;iRo++)
97                 this.siirto[iB+(nB+1)*iR][iBo+(nB+1)*iRo]=siirto[iB][
98                     iR][iBo][iRo];
99
100 //MPrint(this.siirto);
101 //System.out.println();
102
103 //vektorit ehdollisia jakaumia varten
104 stR=VNull(nR-1R+1);
105 stB=VNull(nB-1B+1);
106 stRl=VNull(1R);
107 stBl=VNull(1B);
108 }
109
110 public void NextStep () {
111     Pr=MTimes(siirto, Pr);
112
113
114 //p i vitet n voitto- ja muut todenn k isyydet
115 for (int i=0;i<=nB-1B;i++)
116     for (int j=0;j<=nR-1R;j++)
117         jatkuu[step+1]+=Pr[i+(nB+1)*j];
118 for (int i=0;i<=nB-1B;i++)
119     for (int j=nR-1R+1;j<=nR;j++)
120         voittoB[step+1]+=Pr[i+(nB+1)*j];
121 for (int i=nB-1B+1;i<=nB;i++)
122     for (int j=0;j<=nR-1R;j++)
123         voittoR[step+1]+=Pr[i+(nB+1)*j];
124 for (int i=nB-1B+1;i<=nB;i++)
125     for (int j=nR-1R+1;j<=nR;j++)
126         moltuhottu[step+1]+=Pr[i+(nB+1)*j];
127
128

```

```

129     step++;
130 }
131
132 public void ehdolliset () {
133     // tehd n tulosjakaumasta matriisi
134     Prm=new double [nB+1][nR+1];
135     for (int i=0;i<=nB;i++)
136         for (int j=0;j<=nR;j++)
137             Prm[i][j]=Pr[i+j*(nB+1)];
138
139     double apu=0;
140     for (int i=0;i<=nB-1B;i++){
141         for (int j=nR-1R+1;j<=nR;j++){
142             apu+=Prm[i][j];
143             stB[i]+=Prm[i][j];
144         }
145     }
146     stB=MTimesC(stB, 1/apu);
147
148     apu=0;
149     for (int i=nB-1B+1;i<=nB;i++){
150         for (int j=0;j<=nR-1R;j++){
151             apu+=Prm[i][j];
152             stR[j]+=Prm[i][j];
153         }
154     }
155     stR=MTimesC(stR, 1/apu);
156
157     apu=0;
158     for (int i=nB-1B+1;i<=nB;i++){
159         for (int j=0;j<=nR;j++){
160             apu+=Prm[i][j];
161             stB1[i-nB+1B-1]+=Prm[i][j];
162         }
163     }
164     stB1=MTimesC(stB1, 1/apu);
165
166     apu=0;
167     for (int i=0;i<=nB;i++){
168         for (int j=nR-1R+1;j<=nR;j++){
169             apu+=Prm[i][j];
170             stR1[j-nR+1R-1]+=Prm[i][j];
171         }
172     }
173     stR1=MTimesC(stR1, 1/apu);
174
175
176

```



```

177 }
178
179
180
181 //luo ammuttamatriisin
182 public double [][] ammuttamatriisi(int n, double ph, double
    tulinopeus, int luovutus){
183     double [][] p;
184     if(tulinopeus==0||n<luovutus) return MDiag(n+1,1);
185     else{
186         p=MNull(n+1,n+1);
187         for(int maaleja=n; maaleja>=0; maaleja--){
188             double pk;
189             if(maaleja>0)pk=1-Math.pow((1-ph), tulinopeus/maaleja);
190             else {pk=0;}
191             for(int i=0; i<=maaleja; i++){
192                 if(maaleja>=luovutus)p[n-maaleja+i][n-maaleja]=DBinom(
                    maaleja, i, pk);
193                 else p[n-maaleja+i][n-maaleja]=DBinom(maaleja, i, 0);
194             }
195             return p;
196         }
197
198
199 }
200
201 //palauttaa binomijakauman tiheysfunktion arvon arvoille n, k,
    p
202 public double DBinom(int n, int k, double p){
203     if(k>n) return 0;
204     double taikakerroin=1;
205     for(int i=k+1; i<=n; i++)taikakerroin*=i;
206     for(int i=1; i<=n-k; i++)taikakerroin/=i;
207     if(p==1||p==0){
208         if(k==0||k==n) return 1;
209         else return 0;
210     }
211     return taikakerroin*Math.pow(p, k)*Math.pow((1-p), (n-k));
212 }
213
214
215 //Palauttaa taulukon joka on t ynn nollia
216 public static double [][] MNull(int dim1, int dim2){
217     double [][] M=new double[dim1][dim2];
218     for(int i=0; i<dim1; i++)for(int j=0; j<dim2; j++)M[i][j]=0;
219     return M;
220 }
221

```

```

222 //Palauttaa taulukon joka on t ynn nolliä
223 public double[] VNull(int dim1){
224     double[] M=new double[dim1];
225     for(int i=0;i<dim1;i++)M[i]=0;
226     return M;
227 }
228
229 //Palauttaa taulukon joka on t ynn nolliä
230 public double[][][] MNull(int dim1,int dim2, int dim3){
231     double[][][] M=new double[dim1][dim2][dim3];
232     for(int i=0;i<dim1;i++)for(int j=0;j<dim2;j++)for(int k=0;k<
        dim3;k++)M[i][j][k]=0;
233     return M;
234 }
235
236 //Palauttaa taulukon joka on t ynn nolliä
237 public double[][][][] MNull(int dim1,int dim2, int dim3, int
        dim4){
238     double[][][][] M=new double[dim1][dim2][dim3][dim4];
239     for(int i=0;i<dim1;i++)for(int j=0;j<dim2;j++)for(int k=0;k<
        dim3;k++)for(int l=0;l<dim4;l++)M[i][j][k][l]=0;
240     return M;
241 }
242
243 //Palauttaa dim x dim taulukon jonka diagonaalilla on vakiota C
244 public double[][] MDiag(int dim,double C){
245     double[][] M=MNull(dim,dim);
246     for(int i=0;i<dim;i++){
247         M[i][i]=C;
248     }
249     return M;
250 }
251
252 //kertoo kesken n matriisit A ja B
253 public double[][] MTimes(double[][] A,double[][] B){
254     if(A[0].length!=B.length){System.err.println("paskan_
        matriisin_annoit");return null;}
255     double[][] C=new double[A.length][B[0].length];
256     for(int i=0;i<C.length;i++)for(int j=0;j<C[0].length;j++){
257         C[i][j]=0;
258         for(int k=0;k<B.length;k++)C[i][j]+=A[i][k]*B[k][j];
259     }
260     return C;
261 }
262
263 //kertoo kesken n vaakavektorin A ja matriisin B
264 public double[] MTimes(double[] A,double[][] B){
265     if(A.length!=B.length){System.err.println("paskan_
        matriisin_

```

```

266     double [] C=new double[B[0].length];
267     for (int i=0;i<C.length;i++){
268         C[i]=0;
269         for (int k=0;k<B.length;k++)C[i]+=A[k]*B[k][i];
270     }
271     return C;
272 }
273
274 //kertoo kesken n matriisin A ja psytyvektorin B
275 public double [] MTimes(double [][] A,double [] B){
276     if(A[0].length!=B.length){System.err.println("paskan_
        matriisin_annoit");return null;}
277     double [] C=new double[A.length];
278     for (int i=0;i<C.length;i++){
279         C[i]=0;
280         for (int k=0;k<B.length;k++)C[i]+=A[i][k]*B[k];
281     }
282     return C;
283 }
284
285
286
287 //palauttaa matriisin A transpoosin
288 public double [][] MTranspose(double [][] A){
289     double [][] C = new double[A[0].length][A.length];
290     for (int i=0;i<A.length;i++)for (int j=0;j<A[0].length;j++)C[j
        ][i]=A[i][j];
291     return C;
292 }
293
294 //kertoo matriisin A vakiolla b
295 public double [][] MTimesC(double [][] A,double b){
296     double [][] C=new double[A.length][A[0].length];
297     for (int i=0;i<C.length;i++)for (int j=0;j<C[0].length;j++){
298         C[i][j]=A[i][j]*b;
299     }
300     return C;
301 }
302
303 //kertoo vektorin A vakiolla b
304 public double [] MTimesC(double [] A,double b){
305     double [] C=new double[A.length];
306     for (int i=0;i<C.length;i++){
307         C[i]=A[i]*b;
308     }
309     return C;
310 }
311
312 //laskee yhteen matriisit A ja B

```

```
313 public double [][] MPlus(double [][] A, double [][] B){
314     if(A.length!=B.length || A[0].length!=B[0].length) return null;
315     double [][] C=new double[A.length][B[0].length];
316     for(int i=0;i<C.length;i++)for(int j=0;j<C[0].length;j++){
317         C[i][j]=A[i][j]+B[i][j];
318     }
319     return C;
320 }
321
322 //tulostaa matriisin debuggaustarkoituksiin
323 public void MPrint(double [][] M){
324     for(int i=0;i<M.length;i++){
325         for(int j=0;j<M[0].length;j++)System.out.print(M[i][j]+" ")
326         ;
327         System.out.println();
328     }
329 }
330
331 //tulostaa matriisin debuggaustarkoituksiin
332 public void MPrint(double [] M){
333     for(int i=0;i<M.length;i++){
334         System.out.print(M[i]+" ");
335     }
336     System.out.println();
337 }
338 }
339
340 //tulostaa matriisin debuggaustarkoituksiin
341 public void MPrint(double [] M, PrintWriter p){
342     for(int i=0;i<M.length;i++){
343         p.print(M[i]+" ");
344     }
345 }
346 }
347 }
```

B Lapin, Pakkasen ja Åkessonin menetelmän javatoteutus

```

1 import java.io.PrintWriter;
2
3
4 public class DuelCalculator {
5     double tulinopeusB=1, tulinopeusR=1;
6     double phB=0.02, phR=0.02;
7     int nB=50, nR=40;
8     int steps = 60;
9     int lB=25, lR=20;
10    int step = 0;
11
12    public double [][] B, R;
13
14    public double [] jatkuu, voittoR, voittoB, moltuhottu;
15    public double [] stR, stRl, stB, stBl;
16
17    double [][][] AB = new double[nR+1][][], AR=new double[nB
18        +1][][];
19
20    public DuelCalculator () {
21        B=MNull(steps+1,nB+1); R=MNull( steps+1,nR+1);
22        B[0][0]=R[0][0]=1;
23
24        jatkuu= VNull(steps+1);
25        voittoR= VNull(steps+1);
26        voittoB= VNull(steps+1);
27        moltuhottu= VNull(steps+1);
28        jatkuu [0]=1;
29
30        //lasketaan ammuntamatriisit valmiiksi
31        for (int i=nR-1;i >=0;i--)
32            AB[i]=ammuntamatriisi(nB,phR,tulinopeusR*i);
33        for (int i=nB-1;i >=0;i--)
34            AR[i]=ammuntamatriisi(nR,phB,tulinopeusB*i);
35
36        //vektorit ehdollisia jakaumia varten
37        stR=VNull(nR-lR+1);
38        stB=VNull(nB-lB+1);
39        stRl=VNull(lR);
40        stBl=VNull(lB);
41    }

```

```

42 public DuelCalculator (int s, int nB, int nR, int lB, int lR,
    double phB, double phR, double tulinopeusB, double
    tulinopeusR){
43     this.phB=phB;
44     this.phR=phR;
45     this.tulinopeusB=tulinopeusB;
46     this.tulinopeusR=tulinopeusR;
47     steps=s;
48     this.nB=nB;
49     this.nR=nR;
50     this.lB=lB;
51     this.lR=lR;
52     B=MNull(steps+1,nB+1); R=MNull( steps+1,nR+1);
53     B[0][0]=R[0][0]=1;
54
55     jatkuu= VNull(steps+1);
56     voittoR= VNull(steps+1);
57     voittoB= VNull(steps+1);
58     moltuhottu= VNull(steps+1);
59     jatkuu [0]=1;
60
61     //lasketaan ammontamatriisit valmiiksi
62     AB=new double[nR+1][][];
63     AR=new double[nB+1][][];
64     for (int i=nR; i>=0; i--)
65         AB[i]=ammuntamatriisi(nB,phR,tulinopeusR*i);
66     for (int i=nB; i>=0; i--)
67         AR[i]=ammuntamatriisi(nR,phB,tulinopeusB*i);
68
69     //vektorit ehdollisia jakaumia varten
70     stR=VNull(nR-lR+1);
71     stB=VNull(nB-lB+1);
72     stRl=VNull(lR);
73     stBl=VNull(lB);
74 }
75
76 public void NextStep(){
77     //lasketaan sinisen siirtym matriisi
78     double [][] PB=MNull(nB+1,nB+1);
79     for (int i=0; i<nR; i++)PB=MPlus(MTimesC(AB[i],R[step][nR-i-1])
    , PB);
80
81     //lasketaan sinisen uusi jakauma
82     B[step+1]=MTimes(B[step],MTranspose(PB));
83
84     //lasketaan punaisen siirtym matriisi
85     double [][] PR=MNull(nR+1,nR+1);

```

```

86   for (int i=0;i<nB;i++)PR=MPlus(MTimesC(AR[i],B[step][nB-i-1])
      , PR);
87
88   //lasketaan punaisen uusi jakauma
89   //System.out.println(PR.length+" "+PR[0].length+" "+R[step].
      length);
90   R[step+1]=MTimes(R[step],MTranspose(PR));
91   //MPrint((PR));
92
93   //pivitet n tn, ett taistelu jatkuu
94   double apu1 =0, apu2=0;
95   for (int i=nR-1R+1;i<=nR;i++)apu1+=R[step+1][i];
96   for (int i=nB-1B+1;i<=nB;i++)apu2+=B[step+1][i];
97   jatkuu[step+1]=(1-apu1)*(1-apu2)*jatkuu[step];
98
99   //pivitet n tn, ett punainen on voittanut
100  voittoR[step+1]=(1-apu1)*apu2*jatkuu[step]+voittoR[step];
101
102  //pivitet n tn, ett sininen on voittanut
103  voittoB[step+1]=apu1*(1-apu2)*jatkuu[step]+voittoB[step];
104
105  //pivitet n tn, ett molemmat ovat lytyj
106  moltuhottu[step+1]=apu1*apu2*jatkuu[step]+moltuhottu[step];
107
108  //pivitet n ehdolliset jakaumat
109  for (int i=0;i<=nR-1R;i++)stR[i]=(1/voittoR[step+1])*(R[step
      +1][i]*apu2*jatkuu[step]+stR[i]*voittoR[step]);
110  for (int i=0;i<=nB-1B;i++)stB[i]=(1/voittoB[step+1])*(B[step
      +1][i]*apu1*jatkuu[step]+stB[i]*voittoB[step]);
111  for (int i=0;i<1R;i++)stR1[i]=(1/(voittoB[step+1]+moltuhottu[
      step+1]))*(R[step+1][nR-1R+1+i]*jatkuu[step]+stR1[i]*(
      voittoB[step]+moltuhottu[step]));
112  for (int i=0;i<1B;i++)stB1[i]=(1/(voittoR[step+1]+moltuhottu[
      step+1]))*(B[step+1][nB-1B+1+i]*jatkuu[step]+stB1[i]*(
      voittoR[step]+moltuhottu[step]));
113
114
115  //asetetaan jakaumissa lyty vastaavien tilojen tn:t
      nolliksi
116  for (int i=nB-1B+1;i<=nB;i++)B[step+1][i]=0;
117  for (int i=nR-1R+1;i<=nR;i++)R[step+1][i]=0;
118
119  //Renormalisoidaan saadut vektorit jakaumiksi
120  double apu=0;
121  for (int i=0;i<=nB;i++)apu+=B[step+1][i];
122  B[step+1]=MTimesC(B[step+1],1/apu);
123  apu=0;

```

```

124     for (int i=0;i<=nR;i++)apu+=R[step+1][i];
125     R[step+1]=MTimesC(R[step+1],1/apu);
126     //MPrint(R[step+1]);
127
128     step++;
129 }
130
131 //luo ammontamatriisin
132 public double[][] ammontamatriisi(int n, double ph, double
    tulinopeus){
133     double[][] p;
134     if(tulinopeus==0)return MDiag(n+1,1);
135     else{
136         p=MNull(n+1,n+1);
137         for(int maaleja=n;maaleja>=0;maaleja--){
138             double pk=1-Math.pow(1-ph),tulinopeus/maaleja);
139             for(int i=0;i<=maaleja;i++)p[n-maaleja+i][n-maaleja]=
                DBinom(maaleja,i,pk);
140         }
141         return p;
142     }
143 }
144 }
145
146 //palauttaa binomijakauman tiheysfunktion arvon arvoille n, k,
    p
147 public double DBinom(int n, int k, double p){
148     if(k>n)return 0;
149     double taikakerroin=1;
150     for(int i=k+1;i<=n;i++)taikakerroin*=i;
151     for(int i=1;i<=n-k;i++)taikakerroin/=i;
152     if(p==1||p==0){
153         if(k==n)return 1;
154         else return 0;
155     }
156     return taikakerroin*Math.pow(p,k)*Math.pow((1-p),(n-k));
157 }
158
159
160 //Palauttaa taulukon joka on t ynn nollia
161 public static double[][] MNull(int dim1,int dim2){
162     double[][] M=new double[dim1][dim2];
163     for(int i=0;i<dim1;i++)for(int j=0;j<dim2;j++)M[i][j]=0;
164     return M;
165 }
166
167 //Palauttaa taulukon joka on t ynn nollia
168 public double[] VNull(int dim1){

```



```

169     double [] M=new double[ dim1 ];
170     for (int i=0;i<dim1;i++)M[i]=0;
171     return M;
172 }
173
174 //Palauttaa taulukon joka on t ynn nollia
175 public double [] [] [] MNull(int dim1, int dim2, int dim3){
176     double [] [] [] M=new double[ dim1 ][ dim2 ][ dim3 ];
177     for (int i=0;i<dim1;i++)for (int j=0;j<dim2;j++)for (int k=0;k<
        dim3;k++)M[i][j][k]=0;
178     return M;
179 }
180
181 //Palauttaa dim x dim taulukon jonka diagonaalilla on vakiota C
182 public double [] [] MDiag(int dim, double C){
183     double [] [] M=MNull(dim, dim);
184     for (int i=0;i<dim;i++){
185         M[i][i]=C;
186     }
187     return M;
188 }
189
190 //kertoo kesken n matriisit A ja B
191 public double [] [] MTimes(double [] [] A, double [] [] B){
192     if (A[0].length!=B.length){System.err.println("paskan_
        matriisin_annoit");return null;}
193     double [] [] C=new double[A.length][B[0].length];
194     for (int i=0;i<C.length;i++)for (int j=0;j<C[0].length;j++){
195         C[i][j]=0;
196         for (int k=0;k<B.length;k++)C[i][j]+=A[i][k]*B[k][j];
197     }
198     return C;
199 }
200
201 //kertoo kesken n vaakavektorin A ja matriisin B
202 public double [] MTimes(double [] A, double [] [] B){
203     if (A.length!=B.length){System.err.println("paskan_
        matriisin_
        annoit");return null;}
204     double [] C=new double[B[0].length];
205     for (int i=0;i<C.length;i++){
206         C[i]=0;
207         for (int k=0;k<B.length;k++)C[i]+=A[k]*B[k][i];
208     }
209     return C;
210 }
211
212 //kertoo kesken n matriisin A ja psytyvektorin B
213 public double [] MTimes(double [] [] A, double [] B){

```

```

214     if(A[0].length!=B.length){System.err.println("paskan_
        matriisin_annoit");return null;}
215     double[] C=new double[A.length];
216     for(int i=0;i<C.length;i++){
217         C[i]=0;
218         for(int k=0;k<B.length;k++)C[i]+=A[i][k]*B[k];
219     }
220     return C;
221 }
222
223
224
225 //palauttaa matriisin A transpoosin
226 public double[][] MTranspose(double[][] A){
227     double [][] C = new double[A[0].length][A.length];
228     for(int i=0;i<A.length;i++)for(int j=0;j<A[0].length;j++)C[j
        ][i]=A[i][j];
229     return C;
230 }
231
232 //kertoo matriisin A vakiolla b
233 public double[][] MTimesC(double[][] A,double b){
234     double [][] C=new double[A.length][A[0].length];
235     for(int i=0;i<C.length;i++)for(int j=0;j<C[0].length;j++){
236         C[i][j]=A[i][j]*b;
237     }
238     return C;
239 }
240
241 //kertoo vektorin A vakiolla b
242 public double[] MTimesC(double[] A,double b){
243     double[] C=new double[A.length];
244     for(int i=0;i<C.length;i++){
245         C[i]=A[i]*b;
246     }
247     return C;
248 }
249
250 //laskee yhteen matriisit A ja B
251 public double[][] MPlus(double[][] A,double[][] B){
252     if(A.length!=B.length||A[0].length!=B[0].length)return null;
253     double [][] C=new double[A.length][B[0].length];
254     for(int i=0;i<C.length;i++)for(int j=0;j<C[0].length;j++){
255         C[i][j]=A[i][j]+B[i][j];
256     }
257     return C;
258 }
259
260 //tulostaa matriisin debuggaustarkoituksiin

```

```
261 public void MPrint(double [][] M){
262     for (int i=0;i<M.length;i++){
263         for (int j=0;j<M[0].length;j++)System.out.print(M[i][j]+" ")
                ;
264         System.out.println();
265     }
266 }
267 }
268
269 //tulostaa matriisin debuggaustarkoitukseen
270 public void MPrint(double [] M){
271     for (int i=0;i<M.length;i++){
272         System.out.print(M[i]+" ");
273     }
274     System.out.println();
275 }
276 }
277
278 //tulostaa matriisin debuggaustarkoitukseen
279 public void MPrint(double [] M, PrintWriter p){
280     for (int i=0;i<M.length;i++){
281         p.print(M[i]+" ");
282     }
283 }
284 }
285 }
```

C Oman menetelmäni javatoteutus

```

1 import java.io.PrintWriter;
2
3
4 public class RefCalculator {
5     double tulinopeusB=1, tulinopeusR=1;
6     double phB=0.02, phR=0.02;
7     int nB=50, nR=40;
8     int steps = 60;
9     int lB=25, lR=20;
10    int step = 0;
11
12    public double [][] B, R, IB, IR;
13
14    public double [] jatkuu, voittoR, voittoB, moltuhottu;
15    public double [] stR, stRl, stB, stBl;
16
17    double [][][] AB = new double[nR+1][][], AR=new double[nB
18        +1][][];
19    double eapu1=1, eapu2=1;
20
21    public RefCalculator () {
22        B=MNull(steps+1,nB+1); R=MNull( steps+1,nR+1);
23        B[0][0]=R[0][0]=1;
24
25        jatkuu= VNull(steps+1);
26        voittoR= VNull(steps+1);
27        voittoB= VNull(steps+1);
28        moltuhottu= VNull(steps+1);
29        jatkuu [0]=1;
30
31        //lasketaan ammuntamatriisit valmiiksi
32        for (int i=nR-1;i>=0;i--)
33            AB[i]=ammuntamatriisi(nB,phR,tulinopeusR*i,lB);
34        for (int i=nB-1;i>=0;i--)
35            AR[i]=ammuntamatriisi(nR,phB,tulinopeusB*i,lR);
36        IB=MDiag(nB+1, 1);
37        IR=MDiag(nR+1, 1);
38
39        //vektorit ehdollisia jakaumia varten
40        stR=VNull(nR-lR+1);
41        stB=VNull(nB-lB+1);
42        stRl=VNull(lR);
43        stBl=VNull(lB);
44    }

```

```

45
46 public RefCalculator (int s, int nB, int nR, int lB, int lR,
    double phB, double phR, double tulinopeusB, double
    tulinopeusR){
47     this.phB=phB;
48     this.phR=phR;
49     this.tulinopeusB=tulinopeusB;
50     this.tulinopeusR=tulinopeusR;
51     steps=s;
52     this.nB=nB;
53     this.nR=nR;
54     this.lB=lB;
55     this.lR=lR;
56     B=MNull(steps+1,nB+1); R=MNull( steps+1,nR+1);
57     B[0][0]=1;
58     R[0][0]=1;
59
60     jatkuu= VNull(steps+1);
61     voittoR= VNull(steps+1);
62     voittoB= VNull(steps+1);
63     moltuhottu= VNull(steps+1);
64     jatkuu [0]=1;
65
66     //lasketaan ammontamatriisit valmiiksi
67     AB=new double[nR+1][][];
68     AR=new double[nB+1][][];
69     for (int i=nR; i>=0; i--)
70         AB[i]=ammuntamatriisi(nB,phR,tulinopeusR*i,lB);
71     for (int i=nB; i>=0; i--)
72         AR[i]=ammuntamatriisi(nR,phB,tulinopeusB*i,lR);
73     //MPrint(AR[30]);
74     IB=MDiag(nB+1, 1);
75     IR=MDiag(nR+1, 1);
76
77     //vektorit ehdollisia jakaumia varten
78     stR=VNull(nR-lR+1);
79     stB=VNull(nB-lB+1);
80     stRl=VNull(lR);
81     stBl=VNull(lB);
82 }
83
84 public void NextStep() {
85     //lasketaan sinisen siirtym matriisi
86     double [][] PB=MNull(nB+1,nB+1);
87     for (int i=lR; i<=nR; i++)PB=MPlus(MTimesC(AB[nR],R[step][nR-i]
    ), PB);
88     for (int i=0; i<lR; i++)PB=MPlus(MTimesC(IB,R[step][nR-i]
    ), PB)
    ;

```

```

89
90
91 //lasketaan sinisen uusi jakauma
92 B[step+1]=MTimes(B[step],MTranspose(PB));
93
94 //lasketaan punaisen siirtym matriisi
95 double [][] PR=MNull(nR+1,nR+1);
96 for (int i=1B;i<=nB;i++)PR=MPlus(MTimesC(AR[nB],B[step][nB-i]
97     ), PR);
98 for (int i=0;i<1B;i++)PR=MPlus(MTimesC(IR,B[step][nB-i]), PR)
99     ;
100 //MPrint(PR);
101 if (eapu1<=1e-5)
102     PR=IR;
103 if (eapu2<=1e-5)
104     PB=IB;
105
106 //lasketaan punaisen uusi jakauma
107 //System.out.println(PR.length+" "+PR[0].length+" "+R[step].
108     length);
109 R[step+1]=MTimes(R[step],MTranspose(PR));
110
111 //pivitet n tn, ett taistelu jatkuu
112 double apu1 =0, apu2=0;
113 for (int i=nR-1R+1;i<=nR;i++)apu1+=(R[step+1][i]-R[step][i]);
114 for (int i=nB-1B+1;i<=nB;i++)apu2+=(B[step+1][i]-B[step][i]);
115 if (apu1<0){
116     if (apu1>-1e-6)apu1=0;
117     else System.err.println("maailma_r j ht _apu1");
118 }
119 if (apu2<0){
120     if (apu2>-1e-6)apu2=0;
121     else System.err.println("maailma_r j ht _apu2");
122 }
123 //System.out.println(apu2);
124 double krapu1=eapu1-apu1;
125 double krapu2=eapu2-apu2;
126 apu1/=eapu1;
127 apu2/=eapu2;
128
129 if (apu1>1){
130     if (apu1<1+1e-6)apu1=1;
131     else System.err.println("maailma_r j ht _apu1");
132 }
133 if (apu2>1){
134     if (apu2<1+1e-6)apu2=1;
135     else System.err.println("maailma_r j ht _apu2");

```

```

133     }
134     //System.out.println(apu1);
135     //System.out.println(apu2);
136
137     jatkuu[step+1]=(1-apu1)*(1-apu2)*jatkuu[step];
138
139     // p i v i t e t   n   v o i t t o t o d e n n   k   i s y y d e t
140
141     moltuhottu[step+1]=apu1*apu2*jatkuu[step]+moltuhottu[step];
142     voittoR[step+1]=(1-apu1)*apu2*jatkuu[step]+voittoR[step];
143     voittoB[step+1]=(1-apu2)*apu1*jatkuu[step]+voittoB[step];
144
145     // p i v i t e t   n   e h d o l l i s e t   j a k a u m a t
146     if (eapu1>0) for (int i=0; i<=nR-1R; i++) stR[i]=(1/voittoR[step
147         +1])*((R[step+1][i])*apu2/eapu1*jatkuu[step]+stR[i]*
148         voittoR[step]);
149     if (eapu2>0) for (int i=0; i<=nB-1B; i++) stB[i]=(1/voittoB[step
150         +1])*((B[step+1][i])*apu1/eapu2*jatkuu[step]+stB[i]*
151         voittoB[step]);
152     if (eapu1>0&&eapu2>0) for (int i=0; i<1R; i++) stR1[i]=(1/(voittoB[
153         step+1]+moltuhottu[step+1]))*((R[step+1][nR-1R+1+i]-R[
154         step][nR-1R+1+i])/eapu1*jatkuu[step]+stR1[i]*(voittoB[
155         step+1]+moltuhottu[step+1]));
156     if (eapu2>0&&eapu1>0) for (int i=0; i<1B; i++) stB1[i]=(1/(voittoR[
157         step+1]+moltuhottu[step+1]))*((B[step+1][nB-1B+1+i]-B[
158         step][nB-1B+1+i])/eapu2*jatkuu[step]+stB1[i]*(voittoR[
159         step+1]+moltuhottu[step+1]));
160     //for (int i=0; i<1R; i++) stR1[i]=R[step+1][nR-1R+1+i]/(1-krapu1
161         );
162     //for (int i=0; i<1B; i++) stB1[i]=B[step+1][nB-1B+1+i]/(1-krapu2
163         );
164
165     //Renormalisoidaan saadut vektorit jakaumiksi
166     double apu=0;
167     for (int i=0; i<=nB; i++) apu+=B[step+1][i];
168     assert (apu<1.001&&apu>0.999);
169     B[step+1]=MTimesC(B[step+1],1/apu);
170     apu=0;
171     for (int i=0; i<=nR; i++) apu+=R[step+1][i];
172     assert (apu<1.001&&apu>0.999);
173     R[step+1]=MTimesC(R[step+1],1/apu);
174     //MPrint(R[step+1]);
175
176     eapu1=krapu1;
177     eapu2=krapu2;
178
179     step++;

```

```

168 }
169
170
171
172 //luo ammuttamatriisin
173 public double [][] ammuttamatriisi(int n, double ph, double
    tulinopeus, int luovutus){
174     double [][] p;
175     if(tulinopeus==0||n<luovutus) return MDiag(n+1,1);
176     else{
177         p=MNull(n+1,n+1);
178         for(int maaleja=n; maaleja>=0; maaleja--){
179             double pk;
180             if(maaleja>0)pk=1-Math.pow((1-ph), tulinopeus/maaleja);
181             else {pk=0;}
182             for(int i=0; i<=maaleja; i++){
183                 if(maaleja>=luovutus)p[n-maaleja+i][n-maaleja]=DBinom(
                    maaleja, i, pk);
184                 else p[n-maaleja+i][n-maaleja]=DBinom(maaleja, i, 0);
185             }
186             return p;
187         }
188     }
189 }
190 }
191
192 //palauttaa binomijakauman tiheysfunktion arvon arvoille n, k,
    p
193 public double DBinom(int n, int k, double p){
194     if(k>n) return 0;
195     double taikakerroin=1;
196     for(int i=k+1; i<=n; i++)taikakerroin*=i;
197     for(int i=1; i<=n-k; i++)taikakerroin/=i;
198     if(p==1||p==0){
199         if(k==0) return 1;
200         else return 0;
201     }
202     return taikakerroin*Math.pow(p, k)*Math.pow((1-p), (n-k));
203 }
204
205
206 //Palauttaa taulukon joka on t ynn nollia
207 public static double [][] MNull(int dim1, int dim2){
208     double [][] M=new double[dim1][dim2];
209     for(int i=0; i<dim1; i++)for(int j=0; j<dim2; j++)M[i][j]=0;
210     return M;
211 }
212

```



```

213 //Palauttaa taulukon joka on t ynn nollia
214 public double[] VNull(int dim1){
215     double[] M=new double[dim1];
216     for(int i=0;i<dim1;i++)M[i]=0;
217     return M;
218 }
219
220 //Palauttaa taulukon joka on t ynn nollia
221 public double[][][] MNull(int dim1,int dim2, int dim3){
222     double[][][] M=new double[dim1][dim2][dim3];
223     for(int i=0;i<dim1;i++)for(int j=0;j<dim2;j++)for(int k=0;k<
        dim3;k++)M[i][j][k]=0;
224     return M;
225 }
226
227 //Palauttaa dim x dim taulukon jonka diagonaalilla on vakiota C
228 public double[][] MDiag(int dim,double C){
229     double[][] M=MNull(dim,dim);
230     for(int i=0;i<dim;i++){
231         M[i][i]=C;
232     }
233     return M;
234 }
235
236 //kertoo kesken n matriisit A ja B
237 public double[][] MTimes(double[][] A,double[][] B){
238     if(A[0].length!=B.length){System.err.println("paskan_
        matriisin_annoit");return null;}
239     double[][] C=new double[A.length][B[0].length];
240     for(int i=0;i<C.length;i++)for(int j=0;j<C[0].length;j++){
241         C[i][j]=0;
242         for(int k=0;k<B.length;k++)C[i][j]+=A[i][k]*B[k][j];
243     }
244     return C;
245 }
246
247 //kertoo kesken n vaakavektorin A ja matriisin B
248 public double[] MTimes(double[] A,double[][] B){
249     if(A.length!=B.length){System.err.println("paskan_
        matriisin_
        annoit");return null;}
250     double[] C=new double[B[0].length];
251     for(int i=0;i<C.length;i++){
252         C[i]=0;
253         for(int k=0;k<B.length;k++)C[i]+=A[k]*B[k][i];
254     }
255     return C;
256 }
257
258 //kertoo kesken n matriisin A ja psytyvektorin B

```

```

259 public double[] MTimes(double[][] A, double[] B){
260     if(A[0].length!=B.length){System.err.println("paskan_
        matriisin_annoit");return null;}
261     double[] C=new double[A.length];
262     for(int i=0;i<C.length;i++){
263         C[i]=0;
264         for(int k=0;k<B.length;k++)C[i]+=A[i][k]*B[k];
265     }
266     return C;
267 }
268
269
270
271 //palauttaa matriisin A transpoosin
272 public double[][] MTranspose(double[][] A){
273     double [][] C = new double[A[0].length][A.length];
274     for(int i=0;i<A.length;i++)for(int j=0;j<A[0].length;j++)C[j
        ][i]=A[i][j];
275     return C;
276 }
277
278 //kertoo matriisin A vakiolla b
279 public double[][] MTimesC(double[][] A, double b){
280     double [][] C=new double[A.length][A[0].length];
281     for(int i=0;i<C.length;i++)for(int j=0;j<C[0].length;j++){
282         C[i][j]=A[i][j]*b;
283     }
284     return C;
285 }
286
287 //kertoo vektorin A vakiolla b
288 public double[] MTimesC(double[] A, double b){
289     double[] C=new double[A.length];
290     for(int i=0;i<C.length;i++){
291         C[i]=A[i]*b;
292     }
293     return C;
294 }
295
296 //laskee yhteen matriisit A ja B
297 public double[][] MPlus(double[][] A, double[][] B){
298     if(A.length!=B.length||A[0].length!=B[0].length)return null;
299     double [][] C=new double[A.length][B[0].length];
300     for(int i=0;i<C.length;i++)for(int j=0;j<C[0].length;j++){
301         C[i][j]=A[i][j]+B[i][j];
302     }
303     return C;
304 }
305

```

```
306 //tulostaa matriisin debuggaustarkoituksiin
307 public void MPrint(double [][] M){
308     for (int i=0;i<M.length;i++){
309         for (int j=0;j<M[0].length;j++)System.out.print(M[i][j]+" ")
310         ;
311         System.out.println();
312     }
313 }
314
315 //tulostaa matriisin debuggaustarkoituksiin
316 public void MPrint(double [] M){
317     for (int i=0;i<M.length;i++){
318         System.out.print(M[i]+" ");
319     }
320     System.out.println();
321 }
322
323
324 //tulostaa matriisin debuggaustarkoituksiin
325 public void MPrint(double [] M, PrintWriter p){
326     for (int i=0;i<M.length;i++){
327         p.print(M[i]+" ");
328     }
329 }
330 }
331 }
```